

پتروگرافی، ژئوشیمی، پتروژنر و ریزساختار سنگ‌های دگرگونی شمال شرق سنقر

ویدا اکبری گردصی^{۱*}، منصور قربانی^۱، فریبهرز مسعودی^۱ و امیرعلی طباخ شعبانی^۲

۱- گروه زمین‌شناسی، دانشگاه شهید بهشتی، تهران، ایران

۲- گروه زمین‌شناسی، دانشگاه خوارزمی، تهران، ایران

* agarsadafi@yahoo.com

دریافت: ۹۳/۱۲/۲۷ پذیرش: ۹۴/۰۲/۲۷

چکیده

منطقه مورد مطالعه بخشی از پهنه سنندج - سیرجان بوده و در شمال شهرستان سنقر واقع است. این منطقه شامل سنگ‌های دگرگونی مختلف، با پروتولیت رسوبی و آذرین می‌باشد. همه‌ی انواع سنگ‌های موجود تحت شرایط رخساره‌ی شیست‌سیز دگرگون شده‌اند. سنگ‌های دگرگون شده شامل متاگرانیت، متاولکانیک‌ها، مرمر، شیست، کالک‌شیست، کالک‌سیلیکات‌ها، شیست‌سیز، اسلیت و فیلیت هستند. بافت سنگ‌های موجود غالباً بلاستوپوروفیریک، گرانولوبلاستیک و لپیدوپلاستیک است. بر اساس مطالعات ژئوشیمی در نمودارهای هارکر، با افزایش SiO_2 مقدار K_2O روند افزایشی و مقدار FeOt و MgO و TiO_2 . روند کاهشی داشته است، بنابراین شاید بتوان گفت که فرآیند تفریق، فرآیند اصلی در تکامل شیمیایی سنگ‌های منطقه است. ماقمای مولد سنگ‌های آتشفشاری از نوع کالک‌آلکالن است، هم‌چنین غنی‌شدگی در عناصر لیتوфیل درشت یون مانند K, Rb و تهی‌شدگی از عناصر با شدت میدان بالا مانند Nb, Ti می‌دهند. توده‌های نفوذی از جنس گرانیت هستند و در میان سنگ‌های دگرگونی نفوذ کرده‌اند. متاگرانیت‌ها ماهیت پراکلومین ضعیف دارند و از نوع کالک‌آلکالن هستند. این گرانیت‌ها از نوع درون‌صفحه‌ای محسوب می‌شوند. سنگ‌های منطقه هم‌چنین تحت تاثیر نیروهای تکتونیکی دگرگشکل شده‌اند و ریزساختارهای مختلفی در آن‌ها شکل‌گرفته است که نشان از وجود فازهای دگرگشکلی مختلف در منطقه می‌باشد.

واژه‌های کلیدی: پتروگرافی، پتروژنر، ریزساختار، ژئوشیمی، شمال شرق سنقر

روش مطالعه

جهت انجام این تحقیق پس از بازدید از منطقه، جهت تهیی اطلاعات صحرایی از محدوده و همچنین انجام نمونه‌برداری سیستماتیک، ۸۵ نمونه‌ی مناسب برداشت گردید که از این تعداد با توجه به مشابهت ظاهری به منظور بررسی میکروسکوپی ۵۸ مقطع نازک تهیی گردید. پس از مطالعات پتروگرافی تعداد ۱۰ نمونه با کمترین مقدار دگرسانی برای آزمایشات ژئوشیمیایی انتخاب و جهت آنالیز به روش XRF به آرمایشگاه کانسaran بینالود فرستاده شد. جهت بررسی نتایج آنالیز، از نرم‌افزار GCDkit استفاده شده است.

زمین‌شناسی منطقه

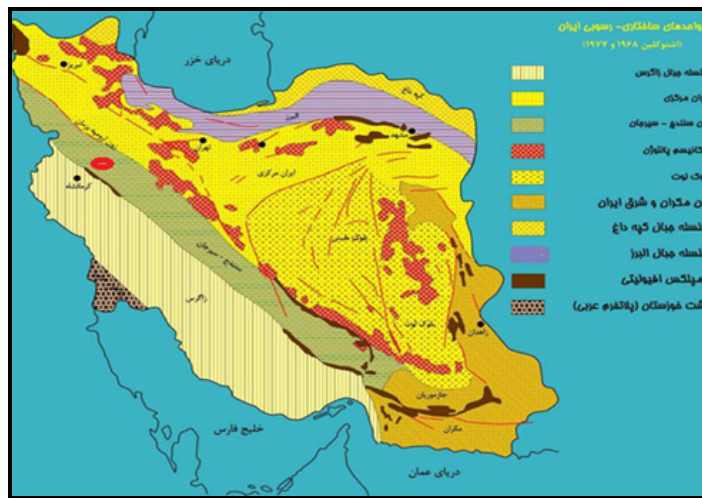
منطقه‌ی مورد مطالعه در تقسیم‌بندی زون‌های ساختاری ایران در زون سنندج - سیرجان قرار می‌گیرد (شکل ۱). سنگ‌های تشکیل دهنده‌ی منطقه عمدتاً سنگ‌های آتشفشاری می‌باشند [۱]. (شکل ۲) قدیمی‌ترین واحدهای

مقدمه

محدوده‌ی مورد مطالعه در شمال شرق شهرستان سنقر واقع است. شهر سنقر در ۸۵ کیلومتری شمال شرقی کرمانشاه قرار دارد. منطقه‌ی مورد نظر در طول جغرافیایی ۴۷ درجه و ۴۵ دقیقه تا ۴۸ درجه‌ی شرقی و عرض ۳۴ درجه و ۵۰ دقیقه تا ۳۵ درجه‌ی شمالی واقع شده است (شکل ۲) [۱]. پیش از این تحقیق، مطالعات مختصری بر روی زمین‌شناسی، سنگ‌شناسی و همچنین بررسی پتانسیل معدنی اطراف محدوده‌ی مورد نظر انجام شده است [۳] و [۹]. اما تاکنون این منطقه از نظر پتروگرافی، ژئوشیمی، پتروژنر و ریزساختارها مورد بررسی قرار نگرفته است. بنابراین این مقاله بر آن است تا با تکیه بر داده‌های پتروگرافی و ژئوشیمیایی شرح دقیق و جامعی از ویژگی‌های پتروگرافی، ژئوشیمی، پتروژنر و ریزساختاری منطقه را بیان نماید.

سیلیکات و مرمر) و همچنین شامل آندزیت، تراکی آندزیت، لاتیت و توف بلورین قطعه سنگی است. در این منطقه سنگ‌هایی از جمله شیست، اپیدوت-اکتینولیت شیست، اسلیت و فیلیت نیز دیده می‌شود. سن این سنگ‌ها منسوب به پالئوزوئیک پسین-تریاس پیشین و سن دگرگونی آن‌ها منسوب به سیمیرین پیشین (واخر تریاس میانی تا بالایی) می‌باشد [۳ و ۵]. در حوالی روستای تکیه پایین نیز توده‌های نفوذی گرانیتی کوچکی رخمنون دارند. این توده‌ها احتمالاً بخشی از همان واحدهایی هستند که بر روی نقشه با علامت gd-d مشخص شده‌اند. توده‌های نفوذی همزمان با دگرگونی در میان سنگ‌ها نفوذ کرده‌اند و تحت تاثیر دگرگونی و دگرگشکلی حاکم در منطقه قرار گرفته‌اند [۳ و ۵] شایان ذکر است که در بخش‌هایی از منطقه مورد مطالعه فیلیت‌های همدان به سن تریاس پسین - ژوراسیک پیشین روی این سنگ‌ها را می‌پوشانند [۵].

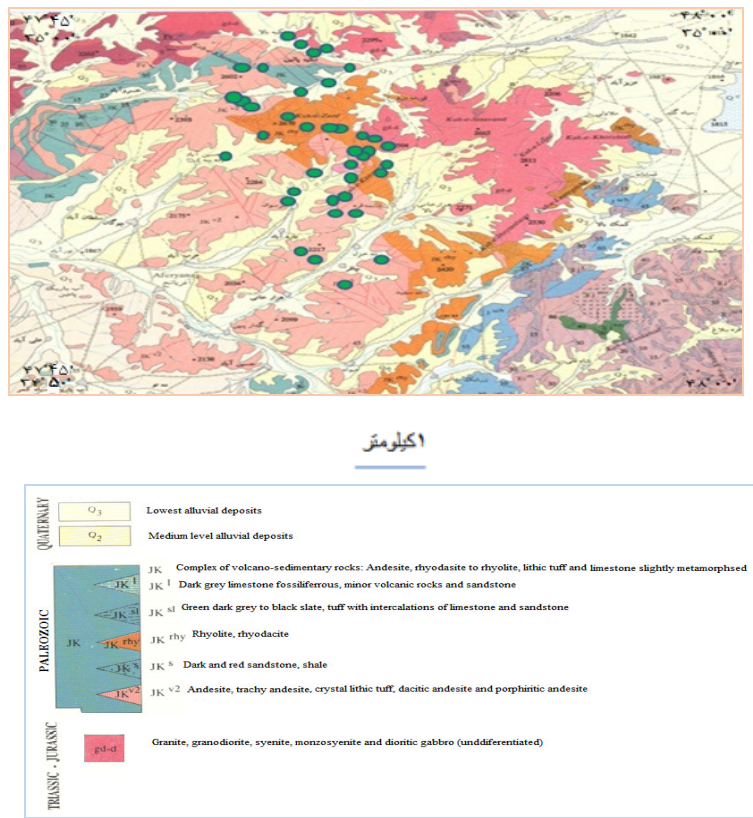
سنگی منطقه سری ولکانیکی - رسوبی متشكل از سنگ‌های آتشفشنانی اسیدی و متوسط و توف همراه با لایه‌های کربناتی و گاه رسوبات پلیتی می‌باشند که بر اساس مشاهدات صحرایی بیشتر در شمال غرب محدوده مورد مطالعه رخمنون دارند. وجود کانی‌های سیزرنگ دگرگونی در نمونه‌های ماکروسکوپی و همچنین کانی‌های دگرگونی در نمونه‌های میکروسکوپی حاکی از آن است که این سنگ‌ها دچار دگرگونی ضعیفی در حد رخساره‌ی شیست-سیزرنگ شده‌اند. از آنجا که سنگ‌های آتشفشنانی و گرانیت منطقه، دگرگونی ضعیفی را تحمل کرده‌اند و پرتوولیت آن‌ها با توجه به مجموعه کانی‌ای (جدول ۱) حفظ گردیده، بنابراین پیش‌شوند متأ به نام این سنگ‌ها اضافه می‌گردد. در مجموع باید اشاره کرد که بیش‌ترین حجم سنگی این مجموعه دگرگونی را سنگ‌های متاولکانیکی تشکیل می‌دهند و سنگ‌های دیگر به صورت متناوب با آن‌ها قرار گرفته‌اند. این واحد بر روی نقشه، شامل سنگ‌های آهکی (کالک‌شیست، کالک



شکل ۱. موقعیت زون سندنج - سیرجان در تقسیم بندی واحدهای ساختاری-رسوبی ایران، استوکلین (۱۹۶۸ و ۱۹۷۷)، دایره‌ی قرمز رنگ در شکل موقعیت منطقه‌ی مورد مطالعه در زون سندنج سیرجان را، نشان می‌دهد.

جدول ۱. کانی‌های تشکیل دهنده‌ی سنگ‌های دگرگونی دارای پرتوولیت آذرین منطقه

کانی‌های تشکیل دهنده	سنگ دگرگونی
کوارتز، آکالی فلدسپار، پلازیوکلاز، آمفیبول، کلریت، اپیدوت، سریسیت، بیوتیت، موسکوویت، آپاتیت، اسفن و کانی اپاک	متاگرانیت
کوارتز، آکالی فلدسپار، پلازیوکلاز، آمفیبول، کلریت، اپیدوت، سریسیت، موسکوویت، کلسیت و آپاتیت	متاپولیت
پلازیوکلاز، کوارتز، آکالی فلدسپار، کلریت، اپیدوت، سریسیت، موسکوویت، کلسیت، آپاتیت، اسفن و کانی اپاک	متآندزیت
پلازیوکلاز، کوارتز، آکالی فلدسپار، کلریت، اپیدوت، موسکوویت، کلسیت، آپاتیت، اسفن و کانی‌ایاک	متاتراکی آندزیت
آکالی فلدسپار، کوارتز و به مقدار کمتری پلازیوکلاز، آمفیبول، کلریت، اپیدوت، سریسیت، موسکوویت، کلسیت، آپاتیت، اسفن و کانی اپاک	متاتراکیت
آکالی فلدسپار، کوارتز، پلازیوکلاز، آمفیبول، کلریت، اپیدوت، بیوتیت، موسکوویت، آپاتیت، اسفن و کانی اپاک	متاتاتیت
کوارتز، آکالی فلدسپار، کلریت، اپیدوت، موسکوویت، کلسیت، آپاتیت و کانی اپاک	متاتوف



شکل ۲. نمونه‌های برداشت شده در منطقه‌ی مورد مطالعه در نقشه‌ی ۱/۱۰۰۰۰ سنتور (دایره‌های سبز رنگ).

کلریت، اپیدوت، سریسیت و به مقدار خیلی کمتر بیوتیت و موسکوبیت اشاره کرد. وجود کانی‌های کلریت، بیوتیت، آلبیت، اپیدوت و اکتینیولیت نشان از دگرگونی سنگ‌ها در حد رخساره‌ی شیست‌سبز می‌باشد.

متاولکانیک‌های موجود در منطقه شامل متاریولیت، متآندزیت، متاتراکی آندزیت (شکل ۳، ب)، متاتراکیت، متالاتیت، متاداسیت و متاتوف بسته به نوع سنگ دارای درصد متفاوتی فنوکریست شامل کانی‌های اصلی کوارتز، آکالی فلدسپار و پلازیوکلاز و کانی‌های فرعی اسفن و آپاتیت‌اند. بافت موجود در این سنگ‌ها شامل بلاستوپورفیریک، بلاستوپورفیریک تراکیتی و بلاستوپورفیریک با خمیره‌ی میکروگرانولار می‌باشد. واحدهای پیروکلاستیک منطقه توف‌ها هستند که گسترش فراوانی دارند. این سنگ‌ها بیشتر دارای ترکیب ریولیتی می‌باشند، بنابراین کانی اصلی این سنگ‌ها غالباً کوارتز و آکالی فلدسپار است. توف‌ها بیشتر اسیدی بوده و به مقدار کمتری توف بازیک نیز در آن‌ها دیده می‌شود (شکل ۳، ج) که بیشتر آن از نوع لیتیکی است.

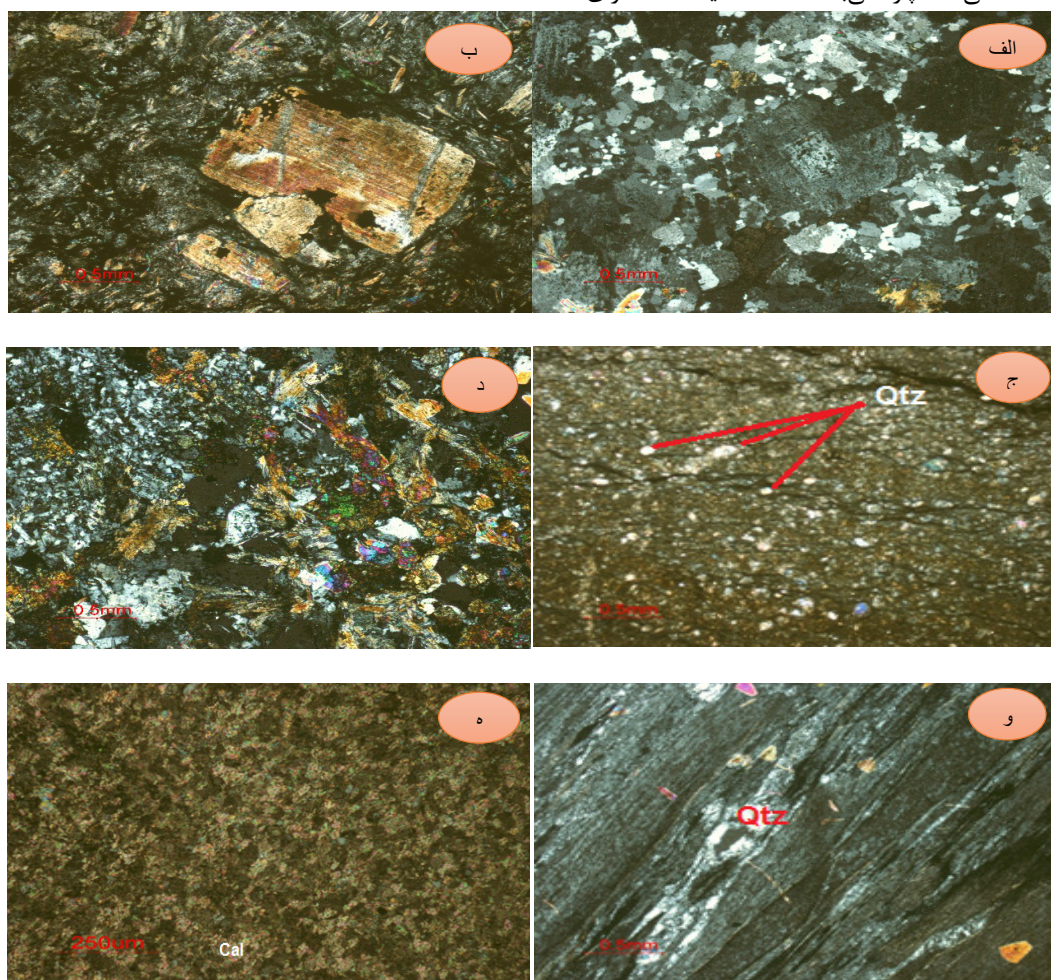
بحث

پتروگرافی

با توجه به اینکه منطقه‌ی مورد نظر در محدوده‌ی زون دگرگون شده‌ی سندنج - سیرجان واقع است، بنابراین دارای تنوع زیادی از نظر وجود سنگ‌های دگرگونی است. متاگرانیت‌ها در محدوده‌ی مورد مطالعه رخنمون وسیعی ندارند. رنگ این سنگ‌ها در نمونه‌ی دستی روشن بوده و کانی‌های تیره‌ی آن‌ها به نسبت کمتر است [۳]. بر طبق مطالعات میکروسکوپی، این سنگ‌ها تقریباً ترکیب کانی‌شناسی اولیه‌ی خود را حفظ کرده‌اند. با این حال کانی‌های اولیه (پروتولیت آذرین) تحت تاثیر نیروهای تکتونیکی تغییر شکل داده‌اند [۳]. در این سنگ‌ها کانی کوارتز تحت تاثیر دگرگونی دینامیکی قرار گرفته و شواهد دگریختی را در آن می‌توان مشاهده کرد (شکل ۳، الف). کانی‌های اصلی این سنگ‌ها کوارتز، آکالی فلدسپار و پلازیوکلاز است. بافت این سنگ‌ها گرانوبلاستیک بوده و بافت فرعی آن‌ها پویی کیلو بلاستیک است. از دیگر کانی‌های موجود در سنگ می‌توان به اسفن، آپاتیت،

بافت لپیدوبلاستیک است که در آن جهت یافتنی به واضح قابل مشاهده می‌باشد. آثار و شواهد ریزچین‌ها که در نمونه‌های ماکروسکوپی مشهود است، در زیر میکروسکوپ نیز قابل مشاهده می‌باشد. کالکسیلیکات‌ها دارای بافت پورفیروبلاستیک و پورفیروبلاستیک با خمیره‌ی میکروگرانولار می‌باشند. مرمرها به صورت توده‌ای و با رنگ کرمی روشن در منطقه رخمنون دارند. بیشتر از ۹۰ درصد حجم این سنگ‌ها را کانی کلسیت فرا گرفته و همچنین از دیگر کانی‌های موجود در سنگ کوارتز و کانی‌های اپاک می‌باشد که بیانگر ناخالصی پروتولیت کربناته‌ی این سنگ‌ها است. سنگ دارای بافت گرانوبلاستیک است (شکل ۳، ۵).

سنگ‌های موسوم به شیستسیز بیشتر در جنوب روسیه تکیه پایین رخمنون دارند و در نمونه‌ی دستی سبزرنگ هستند. کانی‌های موجود در سنگ شامل کوارتز، آکالی‌فلدسبار، پلاژیوکلاز، اپیدوت، آمفیبول، کلریت، بیوتیت و آپاتیت است (شکل ۳، ۵). بافت سنگ گرانوبلاستیک تا نماتوبلاستیک است. سنگ‌های متاپلیتی این گروه دگرگونی شامل سنگ‌های شیست (شکل ۳، و)، اسلیت و فیلیت است که در نمونه‌ی دستی دارای رنگ خاکستری روشن در شیست‌ها و رنگ تیره در اسلیت‌ها و فیلیت‌ها هستند. سکانس کربناتی شامل کالکشیست، کالکسیلیکات و مرمر هستند. از جمله کانی‌های اصلی این سنگ‌ها کوارتز و کلسیت و همچنین در برخی از نمونه‌ها آکالی‌فلدسبار می‌باشد. کالکشیست‌ها دارای



شکل ۳. الف، متاگرانیت، کانی‌های کلریت و اپیدوت و بعض‌آمفیبول در این سنگ نشان از دگرگون بودن آن است (نمونه ۹۱SA1). ب، متاتراکی آندزیت، در این تصویر بلورهای پلاژیوکلاز، فلدسبار، کلریت و اپیدوت قابل مشاهده‌اند (نمونه ۹۱SA20). ج، نمونه‌ای از متاتوف اسیدی، دانه‌های سفید و خاکستری کوارترهای ثانویه هستند (نمونه ۹۱SA11). د، شیستسیز، در این تصویر کانی اپیدوت با چند رنگی سبز، زرد و نارنجی دیده می‌شود و کانی اکتینولیت به صورت سوزن‌های زرد و بنفش نیز قابل مشاهده است (نمونه ۹۱SA41). و، شیست، این سنگ دارای جهت یافتنی است و کوارتز کانی بارز آن است (نمونه ۹۱SA27) و ه، مرمر، دارای کانی‌هایی با اندازه‌های یکسان است که بدون جهت یافتنی خاصی در کثوار هم قرار گرفته‌اند. کانی‌های کلسیت زمینه‌ی اصلی سنگ را می‌سازند و سنگ دارای بافت موزاییکی است (نمونه ۹۱SA12).

چین خوردگی این برگوارگی‌ها در کالکشیست‌ها است (شکل ۴، الف).

یک شبکه‌ی بلوری که حاوی جابجایی‌های زیاد شبیه به هم باشد، می‌تواند به آرامی خم شود. در نتیجه، بلور تحت مطالعه با نور پلازیزه به صورت یکسان و همگن خاموش نمی‌شود. این پدیده به عنوان خاموشی موجی شناخته شده است [۲۲] و در اثر بهمریختگی و تغییر شکل شبکه‌ی بلورین کانی‌ها ایجاد می‌گردد [۱۰]. در غالب سنگ‌های دگرگونی موردن بررسی، بیشتر کانی کوارتز و بعضی آکالای‌فلدسپارها تحت تاثیر دگرشکلی، خاموشی موجی پیدا کرده‌اند. در شرایط حرارت بسیار پایین (زیر 300°C) و پایین ($300-400^{\circ}\text{C}$) خاموشی موجی لکه‌ای تشکیل می‌شود [۲۲]. در نمونه‌های موجود در منطقه، خاموشی موجی بیشتر از نوع لکه‌ای می‌باشد (شکل ۴، ب).

دانه‌های جدید^۱ کوارتز از آثار واضح بازیابی^۲ به شمار می‌روند. این دانه‌ها قسمتی از بلور هستند که از بخش مجاور خود با نواهای مشخص و با برجستگی پایین جدا شده‌اند (شکل ۴، ج). ریزساختارهای زیردانه^۳ نیز که در اثر نیرو و تنفس شکل می‌گیرند، در تصویر قابل مشاهده‌اند (شکل ۴، د). دمای حدود 400°C را برای تشکیل این دانه‌ها پیشنهاد کرده‌اند [۲۲].

تحرک مرز بلورها در درجه حرارت پایین ممکن است به صورت محلی بوده و منجر به برآمدگی به داخل بلوری که دارای تراکم دگریختی بالاست، گردد و بلوری کوچک، مستقل و جدید تشکیل دهد. این پدیده به نام باز تبلور در مرز بلورها در شرایط درجه حرارت پایین یا برآمدگی^۴ نامیده می‌شود [۲۲] (شکل ۴، و).

بعضی از بلورها با دوقلوسازی دگریختی، دگریخته می‌شوند. به طور کلی دوقلوسازی در دگریختی، در حرارت‌های پایین روی می‌دهد. دوقلوسازی در پلازیوکلаз و کلسیت بسیار معمول است ولی در کانی‌های دیگری نیز دیده می‌شود. دوقلوهای دگریختی با شکل خود از دوقلوهای رشد تشخیص داده می‌شوند. ماکل دگریختی سوزنی است و نوک سوزن‌ها به سمت داخل بلور است. این نوع ماکل از یک سمت کانی شروع شده و به سمت

پروتولیت سنگ‌های دگرگونی

در مطالعات سنگ‌شناسی دگرگونی، تعیین نوع پروتولیت از اهمیت خاصی برخوردار است. در این پژوهش جهت تعیین پروتولیت از معیارهای میکروسکوپی استفاده شده است [۲۱]. برخی از سنگ‌های دگرگونی نظریه‌منتأگرانیت، متاریولیت، متآندزیت، متاتراکیت، متالاتیت و متاتوف به دلیل درجه‌ی دگرگونی پایین دچار تغییرات زیادی نشده‌اند و پروتولیت آذربین آن‌ها محفوظ مانده است. در سنگ‌های کالکشیست و کالکسیلیکاته، کلسیت بخش عمدی سنگ را تشکیل می‌دهد و کوارتز و فلدسپار نیز در این سنگ‌ها قابل توجه هستند و کانی‌های ورقه‌ای سنگ شامل بیوتیت و موسکویت می‌باشند. پروتولیت این سنگ‌ها مارن و یا ماسه‌سنگ ناخالص است. مجموعه کانی‌های کلریت+ اپیدوت+ آلبیت+ کوارتز+ کلسیت در نمونه‌های زیادی دیده می‌شوند. گاه مقدار اپیدوت افزایش یافته و اندازه‌ی آن‌ها درشت‌تر می‌شود، همچنین با افزایش درجه‌ی دگرگونی کانی اکتینولیت به مجموعه کانی‌ها افزوده می‌شود. مقدار اکتینولیت در این سنگ‌ها همچنین زیاد است به طوری که اکتینولیت+ کلریت+ اپیدوت بخش عمدی سنگ را تشکیل می‌دهند و سنگ به رنگ سبز در می‌آید. این سنگ‌ها اپیدوت اکتینولیت‌شیست‌ها هستند که سنگ اولیه‌ی آن‌ها یک سنگ مافیک است. با توجه به وجود کانی‌های کلسیت+ کوارتز+ موسکویت و به مقدار بسیار کم کانی‌های اپیدوت، سنگ‌های شیست، اسلیت و فیلیت نیز دارای پروتولیت پلیتی نظریه شیل می‌باشند. مرمر نیز که از کلسیت و کوارتز تشکیل یافته، از دگرگونی آهک ناخالص حاصل شده است.

ریزساختار

در این بخش با کمک شواهد ماکروسکوپی و میکروسکوپی به مطالعه‌ی ریزساختارهای موجود در کانی‌های سنگ‌های منطقه و شرایط دمایی تشکیل این ریزساختارها پرداخته شده، که این مطالعات می‌تواند گامی ارزشمند در جهت شناخت مکانیسم دگریختی موجود در منطقه باشد.

از جمله شواهد دگریختی ماکروسکوپی موجود، برگوارگی حاصل از جهت‌بافتگی کانی‌های کوارتز و کلسیت و کانی‌های دگرسانی مانند کلریت و همچنین

¹. Newgrain

². Recovery

³. Subgrain

⁴. Bulging

نمونه‌های مورد نظر در محدوده‌ی گرانیت قرار می‌گیرند (شکل ۵، الف). بر طبق نمودار AFM [۱۶] نمونه‌های متاگرانیت در محدوده‌ی کالک‌آلکالن قرار می‌گیرند (شکل ۵، ب) و در نمودار [۳۲] که به نمودار تقسیم‌بندی مagmaها بر اساس درجه‌ی اشباعی از آلومینا معروف است، متاگرانیت‌های مورد نظر ماهیت پرآلومین ضعیف (شکل ۵، ج). نمودار [۲۴] که بر اساس نسبت‌های عناصر کمیاب شامل Nb/Rb می‌باشد، نشان‌دهنده‌ی محیط تکتونیکی سنگ‌های موردنظر است. در این نمودار گرانیت‌های منطقه‌ی مورد مطالعه از نوع درون صفحه‌ای می‌باشند (شکل ۵، د).

جهت طبقه‌بندی سنگ‌های آتشفسانی دگرگون شده از نمودارهای مجموع آلکالی – سیلیس [۱۱ و ۲۱] استفاده شده است (شکل ۶، الف و ب)، اما به دلیل تحرک‌پذیری برخی عناصر اصلی در طی دگرگونی جهت بررسی دقیق‌تر از نمودارهای عناصر نامتحرك نیز استفاده گردیده است (شکل ۷، الف و ب). با توجه به نتایج حاصل از تمامی این نمودارها می‌توان گفت که سنگ‌های آتشفسانی منطقه شامل ریولیت، داسیت، تراکیت تراکی داسیت و آندزیت می‌باشند و غالباً در محدوده‌ی اسیدی و به ندرت در محدوده‌ی حدواسط قرار می‌گیرند. همچنین برای تعیین سری magmaی از نمودار K₂O-SiO₂ [۲۴] استفاده شده که بر طبق این نمودار سنگ‌ها دارای سرشت کالک‌آلکالن پتاسیم بالا می‌باشند (شکل ۶، ج). بر اساس نمودار [۳۲] نیز این سنگ‌ها در محدوده‌ی پرآلومین ضعیف واقع شده‌اند (شکل ۶، د).

در نمودار هارکر [۲۵] در خصوص عناصر اصلی با افزایش SiO₂ مقدار K₂O روند افزایشی داشته است (شکل ۷). به تناسب تفرقی یا تبلور جز به جز با افزایش مقدار سیلیس، عناصر سبک مانند K در مایع باقیمانده متمرکز می‌شود. این عنصر در مراحل اولیه انجاماد و تفرقی magmaی در ساختمان کانی مافیک شرکت نمی‌کند و تنها به مقدار کمی وارد ساختمان پلاژیوکلاز می‌شود. در این نمودارها مقدار TiO₂ و همچنین MgO با افزایش میزان سیلیس، روند کاهشی داشته است. کاهش این اکسیدها را می‌توان به تفکیک کانی‌های مافیک مانند آمفیبول و بیوتیت در این سنگ‌ها نسبت داد. با توجه به نتایج حاصله می‌توان گفت که فرآیند تفرقی، فرآیند اصلی در

دیگر نمی‌رسد و اکثراً در دماهای پایین در محل تمرکز کرنش مثلاً در محل تماس دو بلور ایجاد می‌شوند [۲۲]. همچنین [۲۷] تشکیل این ماکل را به دماهای ۴۵۰-۵۰۰°C در شرایط معادل بالای رخساره‌ی شبست سبز نسبت می‌دهد (شکل ۴، ه). از دیگر انواع دگرگشکلی وجود ریزچین‌ها در کالک‌شیسته‌ای منطقه‌ی می‌باشد. در این نمونه‌ها نحوه‌ی قرارگیری کانی‌های کوارتز و کلسیت، به سنگ، جهت‌یافتنگی بخشیده و سنگ تحت تاثیر رژیم دگرگشکلی بعدی چین خورده است. بنابراین می‌توان گفت که در منطقه حداقل دو فاز اصلی دگرگشکلی شکل گرفته است که باعث تشکیل دو فایبریک صفحه‌ای S1, S2 شده است. فایبریک S1 رخ اسلیتی است که در درجات پایین دگرگونی بر S0 منطبق است. رخ اسلیتی مزبور بعداً متحمل دگرگشکلی دیگری شده است و به صورت چین در آمده است. دگرگشکلی دوم در منطقه با چین دادن S0, S1 چین‌هایی با شبستوزیت سطح محوری (S2) به وجود آورده است (شکل ۴، ز).

انحلال‌فشاری محلی اغلب در امتداد درزهای یا شکاف‌ها، مخصوصاً در آهک [۳۳، ۳۲، ۲۶ و ۳۰] و همچنین در سنگ‌های دانه‌ریز همگن به وجود می‌آیند [۱۲، ۲۸، ۱۲ و ۱۴]. در بسیاری از متون لغت استیلولیت^۱ معادل انجعل‌فشاری به کار رفته که عبارت از سطوحی دندانه‌دار است که دندانه‌ها نسبت به سطح آن عمود است [۲۲]. در کالک‌شیسته‌ای منطقه استیلولیت وجود دارد که به موازات لایه‌بندی قرار گرفته است (شکل ۴، و).

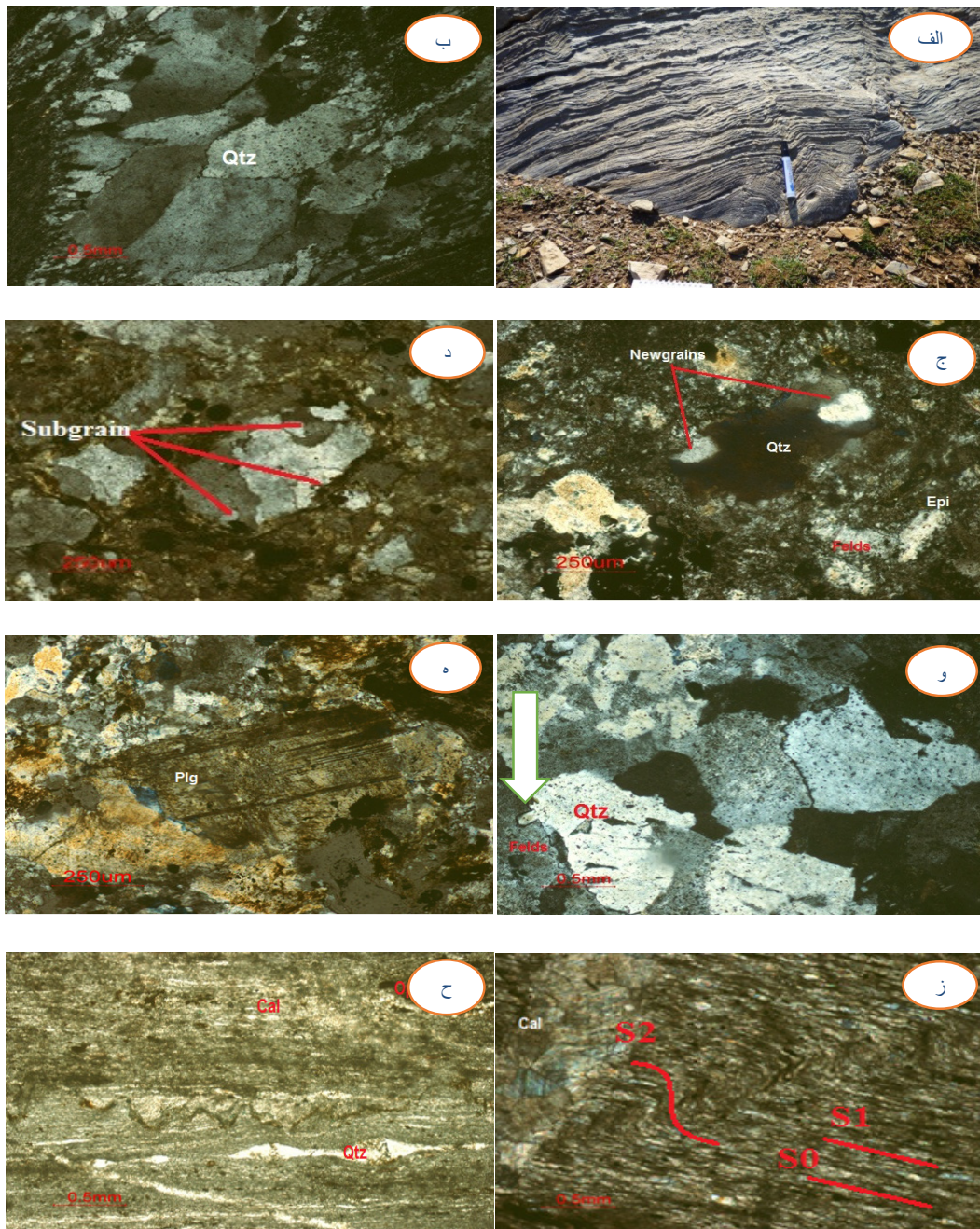
ژئوشیمی سنگ کل

با توجه به اینکه بخشی از موضوع این مقاله مطالعه‌ی ژئوشیمی و پتروزنز سنگ‌های دگرگونی است در این قسمت به مطالعه‌ی ژئوشیمی سنگ‌هایی پرداخته شده که پروتولیت آن‌ها آذرین می‌باشد. با توجه به مطالعات پتروگرافی شرح داده شده و همچنین پاراژنرهای ذکر شده در جدول (۱) آذرین بودن پروتولیت این سنگ‌ها قابل درک می‌باشد. نتایج حاصل از آنالیزهای ژئوشیمیایی در جدول (۲) آمده است. با توجه به نمونه‌های ماکروسکوپی تازه و دگرسان نشده و همچنین کاملاً مشابه تعداد دو نمونه از سنگ‌های درونی مورد آنالیز قرار گرفت. با ترسیم داده‌های حاصل از آنالیز، در نمودار [۲۹]

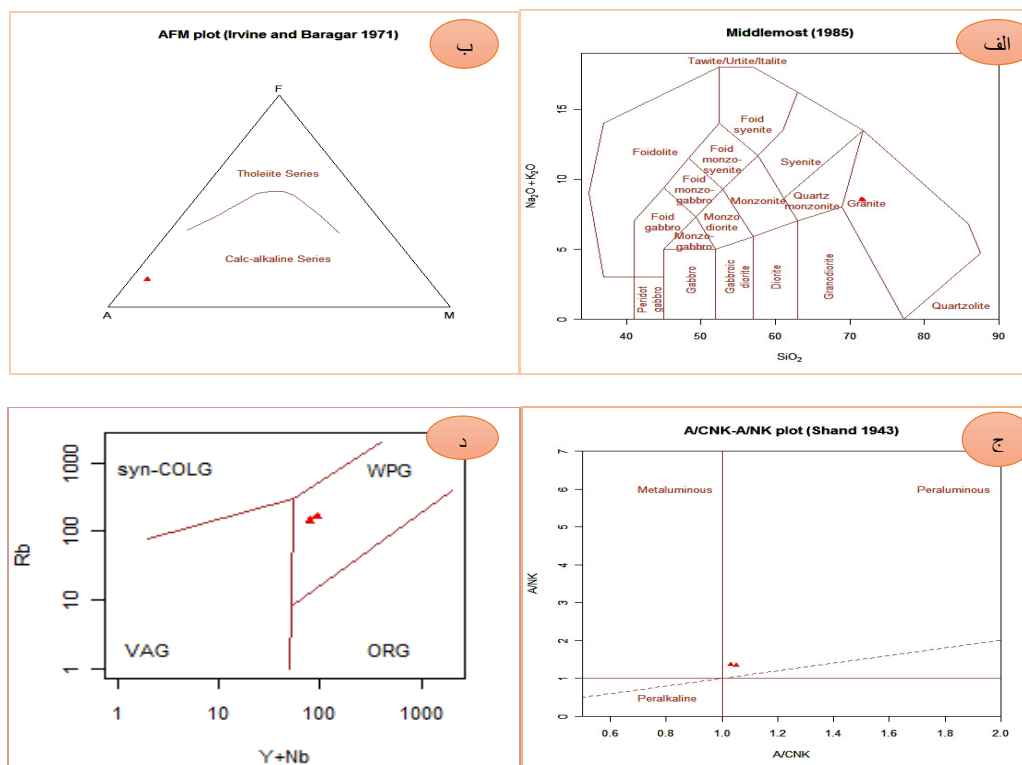
^۱. Styolite

اختلاط ماقمایی باشند که در ادامه مورد بررسی قرار گرفته‌اند.

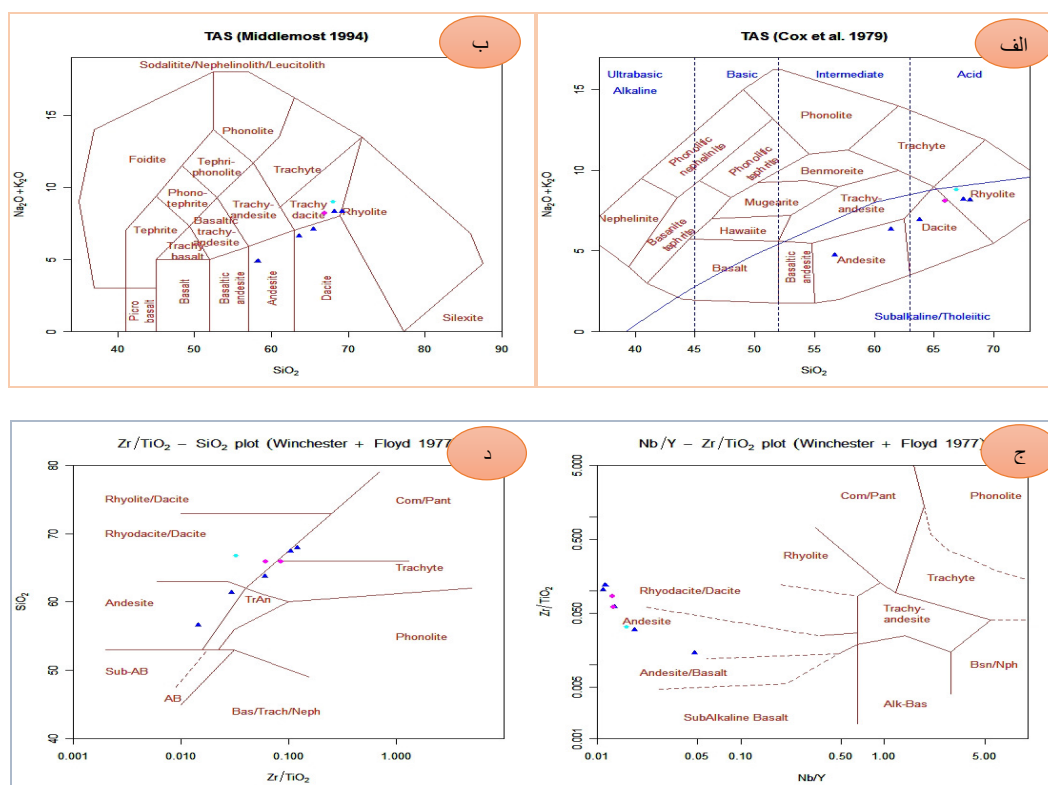
تکامل شیمیایی سنگ‌های منطقه‌ی مورد مطالعه است. بقیه‌ی نمودارها روند خاصی را نشان نمی‌دهند، این پراکندگی‌ها می‌تواند احتمالاً ناشی از عواملی چون

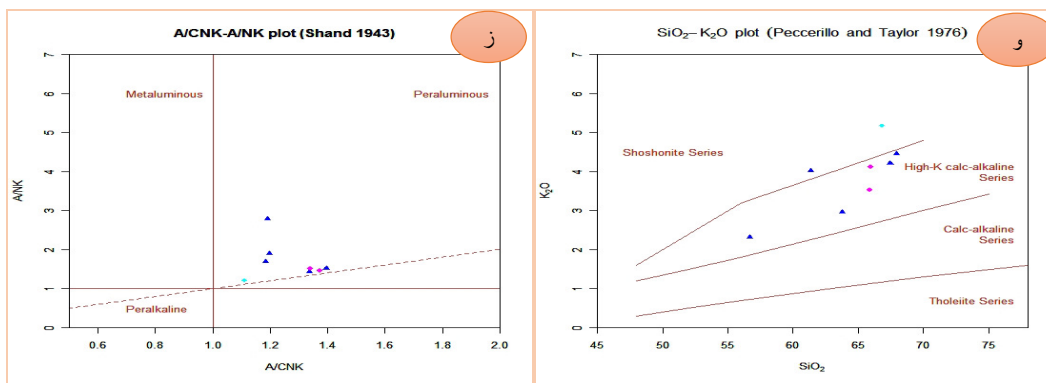


شکل ۴. آثار جهت‌یافته‌ی و چین‌خوردگی در کالک‌شیست‌ها (نمونه‌ی ۹۱SA7)، ب، در تصویر خاموشی موجی لکه‌ای در کوارتز کاملاً مشهود است (نمونه‌ی ۹۱SA26)، ج، تشکیل دانه‌های جدید در اثر بازیابی در بلور کوارتز. در این تصویر کوارتز دارای خاموشی موجی می‌باشد (متاکوارتزلاتیت، نمونه‌ی ۹۱SA15)، د، زیردانه‌ها در بلورهای آلکالی‌فلدسبار (متاکوارتزتراتیت، نمونه‌ی ۹۱SA59)، و، فلش سفید رنگ نمایانگر تبلور مجدد دینامیکی برآمدگی می‌باشد. به دلیل این نوع تبلور کوارتز به داخل فلدسبار نفوذ کرده است (متاگرانیت، نمونه‌ی ۹۱SA2)، ه، دولوپی دگرشکلی در پلاژیوکلاز، (متاکوارتزتراتیت، نمونه‌ی ۹۱SA59)، ز، وجود ریزچین در کالک‌شیست، نشان دهنده‌ی فازهای مختلف دگرشکلی (نمونه‌ی ۹۱SA7)، ح، در تصویر استیلولیت نوع موازی قابل مشاهده است. در این نمونه کوارتز و کلسیت به صورت جهت‌یافته کانی‌های سنگ را تشکیل می‌دهند (کالک‌سیلیکات، نمونه‌ی ۹۱SA85).

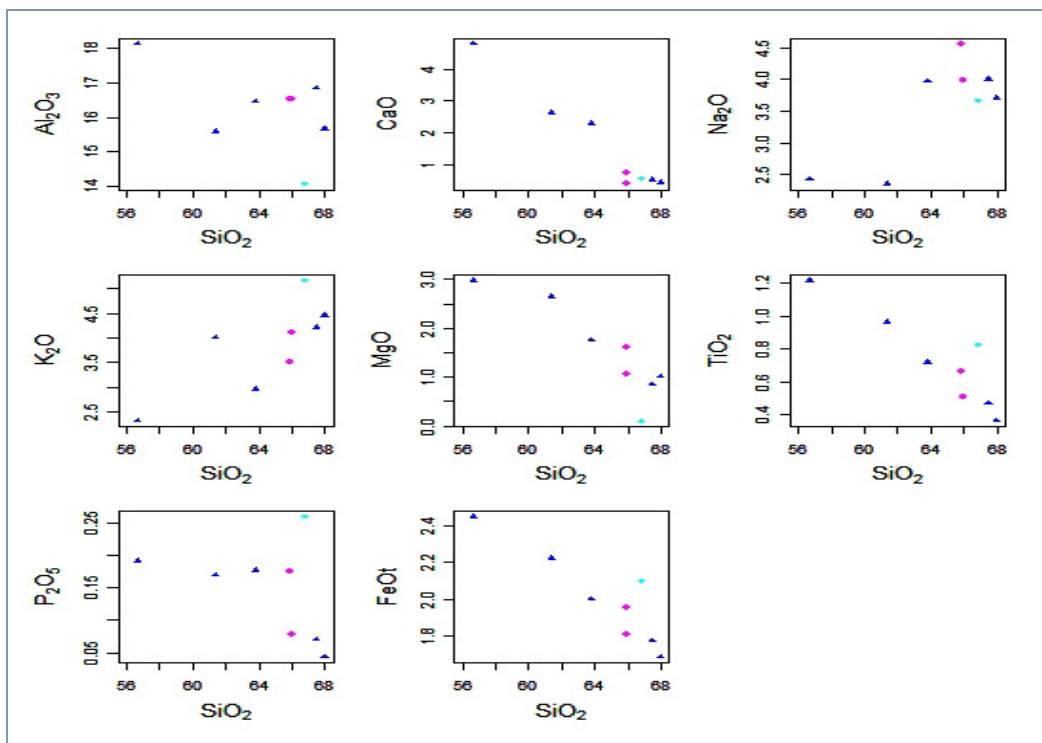


شکل ۵. الف، نامگذاری سنگ درونی دگرگون شده بر اساس نمودار [۲۹]، ب، در نمودار [۱۶]، نمونه‌ها در محدوده‌ی کالکوآلکالن قرار گرفته‌اند، ج، برطبق نمودار [۳۲] نمونه‌ها در محدوده‌ی پرآلومین ضعیف قرار می‌گیرند و د، در نمودار [۲۴]، نمونه‌ها در محیط تکتونیکی درون صفحات قرار گرفته‌اند. متاگرانیت \blacktriangle





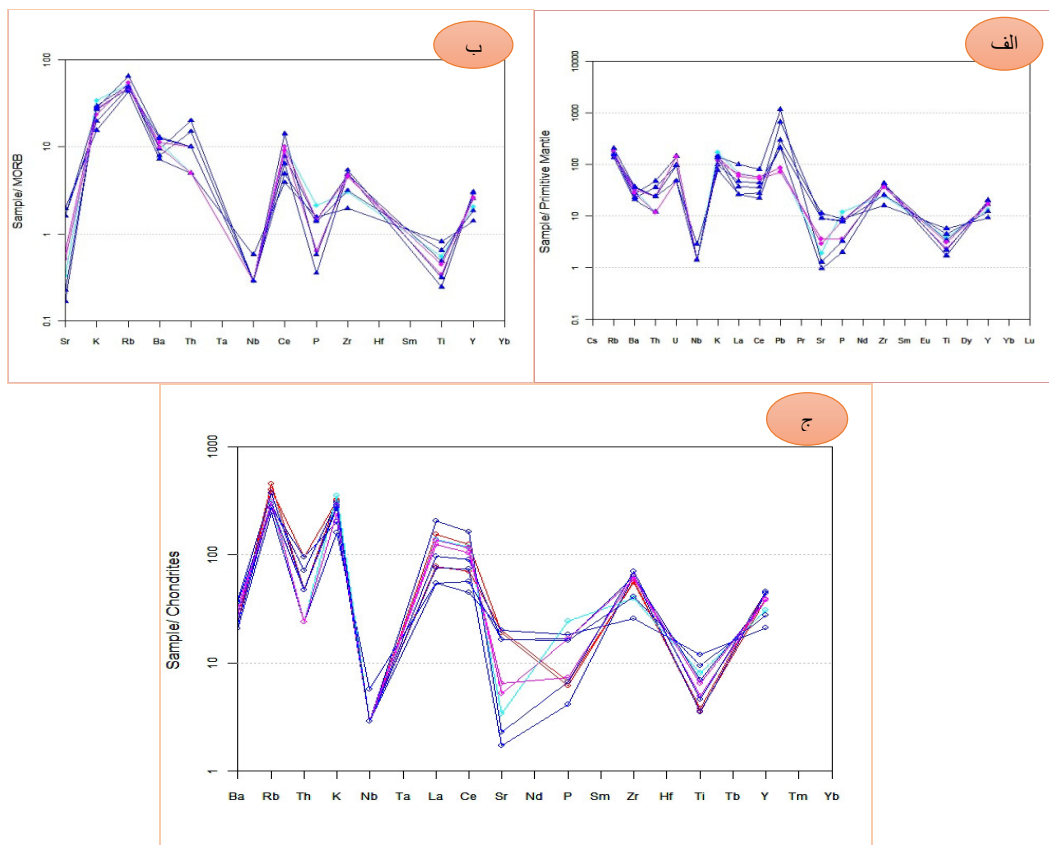
شکل ۶. الف، طبقه‌بندی سنگ‌های آتشفسانی بر اساس روش [۲۰]، ب، بر اساس نمودار $\text{Zr}/\text{TiO}_2\text{-SiO}_2$ و $\text{Nb}/\text{Y-Zr}/\text{TiO}_2$ وینچستر و فلويد (۱۹۷۷)، ج و د، بر اساس نمودار نظر در این نمودارها در محدوده‌ی آندزیت، داسیت، ریودادسیت، تراکیت و Com/Pant (پاتنلریت/کوماندیت) می‌باشد، و تعیین سری ماقمایی بر اساس روش K2O-SiO2 Peccerillo & Taylor, (۱۹۷۶)، سنگ‌ها دارای سرنشست کالکوآلکالن پتاسیم بالا می‌باشند و ز، تعیین سری ماقمایی بر اساس نمودار [۳۲]، سنگ‌ها در محدوده‌ی پرآلومین ضعیف قرار دارند. متاتراکیت و متالاتیت \blacktriangle متاآنذزیت \blacklozenge متاریولیت ♦



شکل ۷. نمایش روند تغییرات عناصر اصلی در برابر SiO_2 بر اساس نمودارهای هارکر [۱۵]

- در هر سه نمودار غنی‌شدگی در $\text{Rb}, \text{K}, \text{Zr}, \text{Y}$ وجود دارد، ولی در سایر موارد دارای اختلافاتی می‌باشند. بالا بودن Rb در سنگ‌های منطقه نشان دهنده‌ی آلودگی پوسته‌ای و اختلاط ماقمایی است [۳۱].

همچنین داده‌های عناصر نادر خاکی نسبت به گوشته‌ی اولیه [۳۵]، مورب [۲۳] و مثوریت‌های کندیریتی [۳۶] نرم‌الایز شده‌اند [۶ و ۳۱]، بررسی‌های حاصل از سه نمودار زیر (شکل ۸، الف، ب و ج) نشان‌دهنده‌ی نتایج زیر است:



شکل ۸. الف، نمودار روند عناصر خاکی نرمالیز شده سنگ‌های آتشفشنانی نسبت به گوشته‌ی اولیه [۳۵]، ب، نسبت به مورب [۲۲] و ج، نسبت به کندربیت [۳۶]

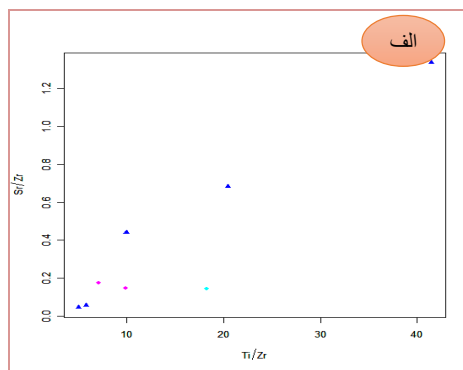
در حین تکامل مagmaی افزون بر تفریق بلوری، عواملی مانند اختلاط magmaی نیز در سرنوشت magma تاثیر بسزایی دارند. برای تعیین فرآیند magmaی دخیل در تولید magma می‌توان از نمودارهای تغییرات Ti/Zr در برابر Sr/Zr [۱۹ و ۲۰] استفاده کرد. چنانچه در شکل ملاحظه می‌شود، روند صعودی نمونه‌های مورد مطالعه با فرآیند اختلاط magmaی همخوانی دارد (شکل ۹).

بنابراین می‌توان نتیجه گرفت که از عوامل مهم در تهی شدگی یا غنی شدگی عناصر در یک magma، تفکیک عناصر توسط ترتیب تبلور کانی‌ها و تفریق و همچنین عواملی مانند اختلاط و آلایش می‌باشد.

با توجه به تشکیل پروتولیت پالئوزوئیک سنگ‌های مورد نظر در یک محیط فروزانش می‌توان گفت که تشکیل این سنگ‌ها با کوهزایی هرسینین و در تیس میانی (پالئوتیس دوم) قابل توجیه است [۲۵ و ۲۶].

در هر سه نمودار آنومالی منفی Nb, Sr, Ti مشهود است. magmaهای حاصل از زون فرورانش دارای آنومالی منفی شاخص از عناصر HFSE هستند. آنومالی منفی Ti, Nb که در شمار عناصر با قدرت میدان بالا و تحرک کم قرار می‌گیرند، در این نمودارها محسوس بوده و بیانگر تشکیل سنگ‌های مورد مطالعه در یک محیط مرتبط با فرورانش می‌باشد. از دلایل مهم این ناهنجاری منفی هضم سنگ‌های پوسته‌ای توسط magma بازالتی می‌باشد. فقر پوسته از عناصر Nb و Ti باعث می‌شود که magmaهای بازالتی آلایش یافته با پوسته قاره‌ای ناهنجاری منفی نسبت به عناصر فوق نشان دهند [۸]. فقط در نمونه‌های نرمالیز شده به مورب این تهی شدگی در P نیز دیده می‌شود که علت آن تبلور کانی آپاتیت می‌تواند باشد.

- در نمودار نرمالیز شده به مورب به دلیل اینکه عناصر دارای غنی شدگی بیشتر در عناصر سبک و سپس در عناصر دارای عدد اتمی متوسط و عناصر سنگین تهی شدگی دارند، روند بهتری را نشان می‌دهد.



شکل ۹. الف، روند مثبت در نمودار نشان دهندهٔ پدیدهٔ اختلاط در سنگ‌ها می‌باشد [۱۸].

جدول ۲. نتایج آنالیز ۱۰ نمونه به روش XRF، نمونه‌های ۹۱SA1 و ۹۱SA2 متاگرانيت و بقیه‌ی نمونه‌ها متاولکانيک هستند.

Sample	SiO ₂ %	Al ₂ O ₃ %	Fe ₂ O ₃ %	CaO%	Na ₂ O%	K ₂ O%	MgO%	TiO ₂ %	MnO%	P ₂ O ₅ %	Total	S%	L.O.I%
91SA1	70.95	15.21	1.48	1.77	3.82	4.60	0.51	0.371	0.037	0.064	98.81	0.001	0.76
91SA2	70.45	15.12	1.50	1.92	3.69	4.70	0.52	0.391	0.038	0.071	98.4	0.001	1.18
91SA35	56.65	18.12	2.72	4.80	2.43	2.32	2.98	1.218	0.138	0.191	97.3	0.002	2.45
91SA39	67.96	15.65	1.87	0.44	3.70	4.45	1.01	0.365	0.096	0.043	98.17	0.001	1.36
91SA42	66.85	14.07	2.33	0.58	3.66	5.17	0.11	0.827	0.207	0.259	98.16	0.001	1.60
91SA48	63.79	16.45	2.22	2.30	3.97	2.95	1.75	0.719	0.160	0.176	97.48	0.002	2.13
91SA49	65.95	16.54	2.01	0.73	3.98	4.12	1.05	0.507	0.046	0.077	98.5	0.001	1.13
91SA51	67.45	16.85	1.97	0.52	4.00	4.21	0.85	0.470	0.047	0.070	98.91	0.001	0.56
91SA57	65.89	16.52	2.17	0.39	4.56	3.52	1.62	0.667	0.055	0.176	98.49	0.003	0.92
91SA83	61.35	15.58	2.47	2.64	2.35	4.01	2.65	0.965	0.135	0.169	96.41	0.001	3.13

Sample	Cl (ppm)	Ba (ppm)	Sr (ppm)	Cu (ppm)	Zn (ppm)	Pb (ppm)	Ni (ppm)	Cr (ppm)	V (ppm)	Ce (ppm)	La (ppm)	W (ppm)
91SA1	275	160	224	17	26	10	32	2	41	109	51	2
91SA2	338	159	234	18	28	9	37	1	40	61	26	1
91SA35	85	144	235	7	106	21	40	29	204	39	18	1
91SA39	99	159	20	7	55	15	40	2	28	64	25	2
91SA42	105	222	40	9	39	6	32	3	87	102	46	1
91SA48	84	191	192	26	153	15	32	1	76	78	32	2
91SA49	112	225	76	9	75	5	32	1	43	91	41	1
91SA51	86	258	27	10	1004	82	33	5	47	142	68	3
91SA57	119	197	61	12	86	6	37	2	72	100	45	1
91SA83	100	249	193	31	116	47	55	39	146	49	18	1

Sample	Zr (ppm)	Y (ppm)	Rb (ppm)	Co (ppm)	As (ppm)	U (ppm)	Th (ppm)	Mo (ppm)	Ga (ppm)	Nb (ppm)
91SA1	398	78	140	2	3	1	4	9	25	1
91SA2	384	92	161	4	3	2	2	5	26	1
91SA35	176	42	87	1	30	1	1	11	19	2
91SA39	439	88	103	2	2	2	3	3	25	1
91SA42	272	62	105	1	101	1	1	4	18	1
91SA48	434	76	96	3	3	3	4	6	22	1
91SA49	429	78	95	1	69	3	2	5	23	1
91SA51	485	91	130	2	33	2	2	9	20	1
91SA57	406	77	110	2	7	1	1	3	24	1
91SA83	283	55	97	2	66	1	2	6	21	1

- [۴] قربانی، م (۱۳۸۱) دیباچه‌ای بر زمین‌شناسی اقتصادی ایران، سازمان زمین‌شناسی و اکتشافات معدنی کشور، ۷۰۰ صفحه.
- [۵] قربانی، م (۱۳۹۲) مagma تیسم و متامورفیسم ایران، انتشارات آرین زمین.
- [۶] کریم‌زاده ثمرین، ع. ر (۱۳۹۱) کاربرد داده‌های ژئوشیمیایی ارزیابی، نمایش، تفسیر، دانشگاه تبریز، تالیف هاگ روپلینسون، ترجمه، ۵۵۷ صفحه.
- [۷] کعناییان، ع (۱۳۹۰) فرآیندهای موثر در تکوین توده نفوذی کوه دم، شمال خاور اردستان: با تکیه بر شواهد ژئوشیمیایی و ایزوتوبی، مجله علوم زمین، سال ۲۱، شماره ۸۱، صفحه ۱۹۱-۲۰۰.
- [۸] کیوانلو، ز (۱۳۹۰) زمین‌شناسی، کانی‌شناسی، ژئوشیمی و پترولوزی سنگ‌های اطراف روسای سنج‌سفید، پایان نامه کارشناسی ارشد، دانشگاه فردوسی مشهد.
- [۹] مظفرزاده، ر (۱۳۸۲) پتروگرافی، ژئوشیمی و پتروزن سنگ‌های آذرین و دگرگونی محور معادن گلایی-باباعلی (شمال شرق سنتقر)، پایان نامه کارشناسی ارشد، دانشگاه شهید بهشتی.
- [10] Barker, A (1991) Introduction to metamorphic textures and microstructures. Blackie, NEW YORK.
- [11] Cox, K. g., Bell, J. D., & Pakhurst, R. J (1979) The interpretation of igneous rocks Allen and unwin, London, 450 pp.
- [12] Dewers, T., & Ortoleva, P (1990) Differentiated structures arising from mechano-chemical feedback in stressed rockes. Earth-Science Reviews, 29: 283-298.
- [13] Dunne, W.M., & Hancock, P.L (1994) Palaeostress analysis of small-scale brittle structures. In: Continental deformation (ed. Hancock, P.) 101-120. Pergamon Press, Oxford.
- [14] Gratier, J.P., Muquet, L., Hassani, R., & Renard, F (2005) Exprmental microstylolites in quartz and modelled application to natural stylolitic structures. Structural Geology, 27: 89-100.
- [15] Harker, A (1909) The natural history of igneous rocks. Methuen and Co., London.
- [16] Irvine T.N., & Baragar W.R.A (1971) Aguide to the chemical classification of the common volcanic rocks. Canadian Journal Earth Science, 8: 523-548.
- [17] Karcz, Z., & Scholz, C.H (2003) The fractal geometry of some stylolites from the Calcare Massiccio Formation, Italy. Structural Geology, 25: 1301-1316.
- [18] Karsli, O., Chen, B., Aydin, F. & Şen, C (2007) Geochemical and Sr-Nd-Pb isotopic compositions of the Eocene Dölek and Sarıçık Plutons, Eastern Turkey:

نتیجه‌گیری

با تلفیق نتایج حاصل از مطالعات صحرایی، پتروگرافی و ژئوشیمیایی می‌توان نتیجه گرفت که سنگ‌های منطقه شامل متاگرانیت، متاولکانیک، مرمر، شیست، کالک‌شیست، کالک‌سیلیکات‌ها، اپیدوت‌اکتینولیت‌شیست، اسلیت و فیلیت هستند. غالب این سنگ‌ها سرشت کالک آکالان دارند، که می‌تواند دلیلی بر مرتبط بودن آن‌ها با مناطق فرورانش باشد. همچنین غنی‌شدنی از عناصر LILE و تهی‌شدنی از عناصر HFSE مovid ماجمای مناطق فرورانش می‌باشد. روندهای خطی مشاهده شده در نمودارهای هارکر بیانگر نقش مهم تبلور بخشی در شکل‌گیری سنگ‌های منطقه است. با توجه به نتایج حاصل از مطالعات ژئوشیمیایی همچنین می‌توان گفت که اختلاط و آلاش ماجمایی، احتمالاً سنگ‌های منطقه را تحت تاثیر قرار داده است. با توجه به وجود ریزساختارهای موجود در منطقه به نظر می‌رسد بعد از تکوین سنگ‌های دگرگونی، منطقه تحت تاثیر نیروهای تکتونیکی قرار گرفته و ریزساختارهای ذکر شده و همچنین سایه‌های کرنشی، تجدید تبلور دینامیکی، تجدید تبلور ایستا، دوقلوی رشد، خمش، شکستگی، ماکل پرتیت و میکروکلین در آلالی فلدسپار، همچنین خمش، دو قلویی و سایه‌ی کرنشی در کلسیت در آن‌ها ایجاد شده است، که نشان از فازهای مختلف دگرشكلي در منطقه می‌باشد. دمای تشکیل این ریزساختارها در محدوده 170°C در تشکیل ماکل نوع I کلسیت تا حداقل دما یعنی 500°C در تشکیل دگرشكلي‌هایی مانند مهاجرت مرز دانه‌ها، دوقلوی دگرشكلي و رشد، ماکل پرتیت و میکروکلین می‌باشد.

منابع

- [۱] اشراقی، ص. ع.، جعفریان، م. ب و اقلیمی، ب (۱۳۷۵) نقشه‌ی ۱/۱۰۰۰۰ سنقر، سازمان زمین‌شناسی و اکتشافات معدنی کشور.
- [۲] افتخارنژاد، ج (۱۳۹۱) جزو درسی، زمین‌شناسی ایران و کشورهای همجوار، دانشگاه شهید بهشتی.
- [۳] حسینی، ب (۱۳۸۹) پترولوزی و پتروزن سنگ‌های دگرگونی منسوب به پالئوزوئیک در زون سنندج - سیرجان و ارتباط آن‌ها با کانی‌سازی آهن، رساله‌ی دکتری، دانشگاه شهید بهشتی.

- [33] Stockdale, PB (1922) Styolites: their nature and origin. Indiana University Studies, 9: 1-97.
- [34] Stoclin, J (1968) Structural history and tectonics of Iran: a review. American Association Petroleum Geologists Bulletin, 25: 1229-1258.
- [35] Sun, S.S., & McDonough, W.F (1989) Chemical and isotopic systematics of oceanic basalts: implications for mantle composition and processes. In: Saunders, A.D., Norry, M.J. (Eds.), Magmatism in ocean basins, vol. 42. Geological Society of London Special Publication. 429-448.
- [36] Thompson, R. N (1982) British Tertiary volcanic province. Scott. J. Geol, 18: 49-107.
- Implications for magma interaction in the genesis of high-K calc-alkaline granitoids in a post-collision extensional setting, *Lithos*, 98: 67-96.
- [19] Middlemost, E.A.K (1985) Magmas and magmatic rock. Longman, London.
- [20] Middlemost, E.A.K (1994) Naming materials in the magma/igneous rock system. *Earth-Sciencereviews*, 37: 215-224.
- [21] Miyashiro, A (1973) Metamorphic and metamorphic belts. George Allen & Unwin, London.
- [22] Passchier, C. W., & Trow, R. A. J (2005) Microtectonic. 2nd edition, Springer, Verlag, Berlin. 365p.
- [23] Pearce, J. A (1980) Geochemical evidence for the genesis and eruptive setting of lavas from Tethyan ophiolites. Proc. Int. ophiolite Symp., Cyprus 1979. Institute of Mining and Metallurgy, pp. 261- 272.
- [24] Pearce, J. A., Harris, N.B.W. and Tindle, A.G (1984) Trace element discrimination diagrams for the tectonic Interpretation of granitic rocks. *Geol , Soe. Spec.Publ*, 7: 14-24.
- [25] Peccerillo, A., & Taylor, S. R (1976) Geochemistry of Eocene calc-alkaline volcanic rocks from the Kastamonu area, Northern Turkey. Contributions to Mineralogy and Petrology, 58: 63-81.
- [26] Petit, JP., & Matthauer, M (1995) Paleostress superimposition deduced from mesoscale structures in limestone: the Matelles exposure, Languedoc, France. *Structural Geology*, 17: 245-256.
- [27] Prior, DJ (1993) Sub-critical fracture and associated retrogression of garnet during mylonitic deformation. Contributions to Mineralogy and Petrology, 113: 545-556.
- [28] Railsback, L.B., & Andrews, L.M (1995) Tectonic stylolites in the undeformed Cumberland Plateau of southern Tennessee. *Structural Geology*, 17: 911-922.
- [29] Railsback, L.B (1998) Evaluation of spacing of stylolites and its implication for self-organizations of pressure dissolution. *Sedimentary Petrology*, 68: 2-7.
- [30] Renard, T., Schmittbuhl, J., Gratier, J.P., Meakin, P., & Merino, E (2004) Threedimentional roughness of stylolites in limestones. *Geophysical Research*, 109, B03209
- [31] Rollinson, H (1993) Usiong geochemical data: evaluation, presentation, interpretation: Longman Group Publi. - Stockdale, PB., (1922). Styolites: their nature and origin. Indiana University Studies, 9: 1-97.
- [32] Shand, S.J (1943) "The Eruptive Rocks" John Wiley. New York.